

## АΝΤΙΟΤРАЖАЮЩИЕ СВОЙСТВА ЧЕРНОГО КРЕМНИЯ, ПОКРЫТОГО ТОНКИМИ ПЛЕНКАМИ ОКСИДОВ МЕТАЛЛОВ МЕТОДОМ АТОМНО-СЛОЕВОГО ОСАЖДЕНИЯ

Г.Е. АЙВАЗЯН<sup>1\*</sup>, М.В. КАТКОВ<sup>2,3</sup>, М.С. ЛЕБЕДЕВ<sup>2</sup>, В.Р. ШАЯПОВ<sup>2</sup>,  
М.Ю. АФОНИН<sup>2</sup>, Д.Е. ПЕТУХОВА<sup>2</sup>, И.В. ЮШИНА<sup>2</sup>,  
Е.А. МАКСИМОВСКИЙ<sup>2</sup>, А.В. АГАБЕКЯН<sup>1</sup>

<sup>1</sup>Национальный политехнический университет Армении, Ереван, Армения

<sup>2</sup>Институт неорганической химии им. А.В. Николаева СО РАН, Новосибирск, Россия

<sup>3</sup>Durban University of Technology, Institute of Systems Science, Durban, South Africa

\*e-mail: agagarm@gmail.com

(Поступила в редакцию 02 мая 2021 г.)

Представлены результаты экспериментальных исследований антиотражающих свойств слоев черного кремния (b-Si), покрытых тонкими пленками оксидов металлов TiO<sub>2</sub>, HfO<sub>2</sub> и Sc<sub>2</sub>O<sub>3</sub> методом атомно-слоевого осаждения (ACO). Показано улучшение антиотражающих свойств b-Si в широком спектральном диапазоне. Исследованные ACO пленки целесообразно использовать в солнечных элементах в качестве эффективного пассивирующего покрытия поверхности b-Si.

### 1. Введение

Черный кремний (b-Si) или «кремниевая трава» представляет собой игольчатую поверхность структуру Si [1–3]. Этот тип пористого Si обеспечивает градиентный показатель преломления между поверхностью Si и воздухом, что приводит к низкой отражательной способности и высокому поглощению видимого света [4–6]. Благодаря своим оптическим свойствам b-Si является перспективным материалом при создании фотоэлектрических устройств, в частности, солнечных элементов.

Структурирование поверхности Si может быть выполнено влажным химическим травлением, лазерным текстурированием, плазменной иммерсионной ионной имплантацией или реактивным ионным травлением (Reactive Ion Etching, RIE). Среди перечисленных способов формирование слоя b-Si методом RIE имеет определенные преимущества – это быстрый, надежный и воспроизводимый процесс, не требующий использования технологии маскирования. В отличие от влажного химического травления, RIE оставляет поверхность свободной от химических загрязнений. Кроме того, RIE может быть использовано для различных типов Si (например,

кристаллического или аморфного) и не зависит от кристаллической ориентации исходных подложек [7].

Несмотря на то, что с помощью b-Si было получено особенно низкое поверхностное отражение, эффективность солнечных элементов на основе этого материала снижается из-за повышенной скорости рекомбинации носителей в силу большой площади поверхности, что приводит к плохим спектральным характеристикам, особенно для коротких длин волн [8]. Уменьшение такой рекомбинации, обычно называемое пассивацией поверхности, достигается за счет комбинированного эффекта – уменьшения состояний ловушек, присутствующих на поверхности, через химическую составляющую пассивации, и уменьшения носителей заряда, доступных для процесса рекомбинации, за счет составляющей полевого эффекта [9]. Кроме того, b-Si подвержен процессам, происходящим во времени: развитая внутренняя поверхность игл имеет тенденцию постепенно окисляться и загрязняться примесями при контакте с воздухом. Недостаточная стабильность структурных и оптических свойств b-Si отрицательно сказывается на работе фотоэлектрических устройств.

Эффективным способом преодоления вышеперечисленных проблем является нанесение тонких пассивирующих пленок на поверхность слоя b-Si [10–12]. Помимо эффективного подавления рекомбинации носителей и защиты от окисления, эти пленки могут дополнительно увеличивать антиотражательную способность, что достигается путем выбора материала с подходящим показателем преломления и регулировки толщины пленки.

Атомно-слоевое осаждение (ACO)/Atomic Layer Deposition (ALD) наиболее полно отвечает требованиям пассивации поверхности планарных и текстурированных Si подложек в силу конформности нанесенных пленок, отсутствия в них пор, а также высокой степени контроля толщины [13]. Кроме того, этот метод можно использовать для осаждения на большой площади и при низкой температуре.

Было показано, что высокая эффективность пассивации слоя b-Si может быть достигнута посредством использования АСО пленок оксида алюминия ( $\text{Al}_2\text{O}_3$ ) [14–18]. Однако отрицательный фиксированный заряд, присутствующий в пленках  $\text{Al}_2\text{O}_3$ , обеспечивает хорошую пассивацию на основе полевого эффекта только для слоев b-Si p-типа и, возможно, на поверхностях n<sup>+</sup>-типа с высоким уровнем легирования. Другие тонкопленочные АСО материалы практически не были исследованы для пассивации слоя b-Si. Между тем, например, диоксид гафния ( $\text{HfO}_2$ ) может служить альтернативой для пассивации слоев b-Si n- и n<sup>+</sup>-типов, так как этот материал имеет положительный связанный заряд на поверхности Si [19]. Таким же кандидатом в качестве пассивирующего материала является диоксид титана ( $\text{TiO}_2$ ), который известен своими фотокаталитическими свойствами и может быть использован для покрытия, самоочищающегося от органических загрязнителей под действием света, что является полезным при

эксплуатации солнечных элементов [20,21]. При этом  $\text{HfO}_2$ ,  $\text{TiO}_2$  и оксид скандия ( $\text{Sc}_2\text{O}_3$ ) являются хорошей альтернативой  $\text{Al}_2\text{O}_3$  в качестве антиотражающего покрытия, способные улучшить свойства b-Si слоев. Эти материалы за счет более высокого показателя преломления позволяют достичь желаемого эффекта снижения коэффициента отражения при использовании пленок меньшей толщины [22].

В работе представлены результаты исследований антиотражающих свойств слоев b-Si, пассивированных тонкими пленками оксидов металлов ( $\text{TiO}_2$ ,  $\text{HfO}_2$  и  $\text{Sc}_2\text{O}_3$ ) посредством технологии ALD.

## 2. Эксперимент

Слой b-Si был сформирован на поверхности подложек монокристаллического Si(100) методом RIE в газовой смеси гексафторида серы ( $\text{SF}_6$ ) и кислорода ( $\text{O}_2$ ) в камере плазменного травления. Детали параметров процесса и описание оборудования приведены в [4,22].

Подготовка подложек со слоями b-Si к осаждению тонких пленок состояла из следующих этапов: (1) кипячение в деионизированной воде; (2) кипячение в смеси растворов  $\text{NH}_3:\text{H}_2\text{O}_2:\text{H}_2\text{O}$  (1:1:7); (3) выдерживание в 5% растворе HF в течение 30 с. Подложки промывались деионизированной водой после каждого из этапов. По этой же процедуре готовились Si(100) планарные подложки-спутники для измерения толщины осажденных пленок.

Тонкие пленки оксидов металлов  $\text{TiO}_2$ ,  $\text{HfO}_2$  и  $\text{Sc}_2\text{O}_3$  наносились методом ACO. В эксперименте использовалась установка PICOSUN™ R-200 Advanced ALD System. Применялся стандартный цикл ACO: импульс паров летучего предшественника металла; продувка реакционной камеры инертным газом (азот чистотой 99.999%); импульс паров источника кислорода; продувка. Циклы ACO повторялись заданное число раз для получения требуемой толщины пленок. Общими параметрами для всех ACO процессов являлись температура реакционной камеры ( $T_{dep} = 300^\circ\text{C}$ ), температура испарительного контейнера с деионизированной водой ( $T_{H_2O} = 20^\circ\text{C}$ ) и время продувки газом-носителем реакционной камеры между импульсами подачи паров предшественников металлов и  $\text{H}_2\text{O}$  (7 с). Используемые предшественники металлов, температура их испарительных контейнеров и длительности импульсов подачи представлены в табл. 1.

На основании наших данных о приросте толщины за один реакционный цикл [23–25], было выбрано число циклов ACO для получения пленок толщиной ~20, 40 и 60 нм, а именно, для  $\text{HfO}_2$  – 250, 500 и 750, для  $\text{Sc}_2\text{O}_3$  – 250, 500, 750 и для  $\text{TiO}_2$  – 380, 750 и 1130 циклов соответственно.

Толщина пленок была измерена на подложках-спутниках методом монохроматической нулевой эллипсометрии (эллипсометр ЛЭФ-3М, длина волны  $\lambda = 632.8$  нм, угол падения  $\phi = 70^\circ$ ). При решении обратной задачи использована модель однослойной непоглощающей пленки (метод Холмса).

Табл.1. Предшественники металлов, температура их испарительных контейнеров и длительность импульсов подачи

Пленка	Предшественник	$T_{\text{evap}}, ^\circ\text{C}$	$t_{\text{pulse}}, \text{с}$	$t_{\text{H2Opulse}}, \text{с}$
HfO <sub>2</sub>	Тетракис-диэтиламидграфния Hf[N(C <sub>2</sub> H <sub>5</sub> ) <sub>2</sub> ] <sub>4</sub>	120	3.0	0.2
Sc <sub>2</sub> O <sub>3</sub>	Трис-метилцикlopентадиенил скандия Sc(CH <sub>3</sub> C <sub>5</sub> H <sub>4</sub> ) <sub>3</sub>	180	5.0	0.5
TiO <sub>2</sub>	Тетрахлорид титана TiCl <sub>4</sub>	25	0.1	0.5

Морфология поперечного сечения структур оксид/b-Si была исследована с помощью сканирующего электронного микроскопа (SEM) JEOL JSM-6700F при напряжении 5 кВ. Измерение оптической отражательной способности поверхности b-Si проводилось на спектрофотометре UV-3101PC с интегрирующей сферой. В качестве эталона отражения использовался BaSO<sub>4</sub>.

### 3. Результаты и обсуждение

На рис.1 представлены результаты исследования морфологии поперечного сечения структур HfO<sub>2</sub>/b-Si с пленками разной толщины, а также измеренные зависимости коэффициента отражения  $R$  этих структур от длины волн  $\lambda$ . На графиках указаны толщины  $d$  оксидных АСО пленок по данным эллипсометрических измерений на подложках-спутниках. Эти же данные были получены для структур Sc<sub>2</sub>O<sub>3</sub>/b-Si (рис.2) и TiO<sub>2</sub>/b-Si (рис.3).

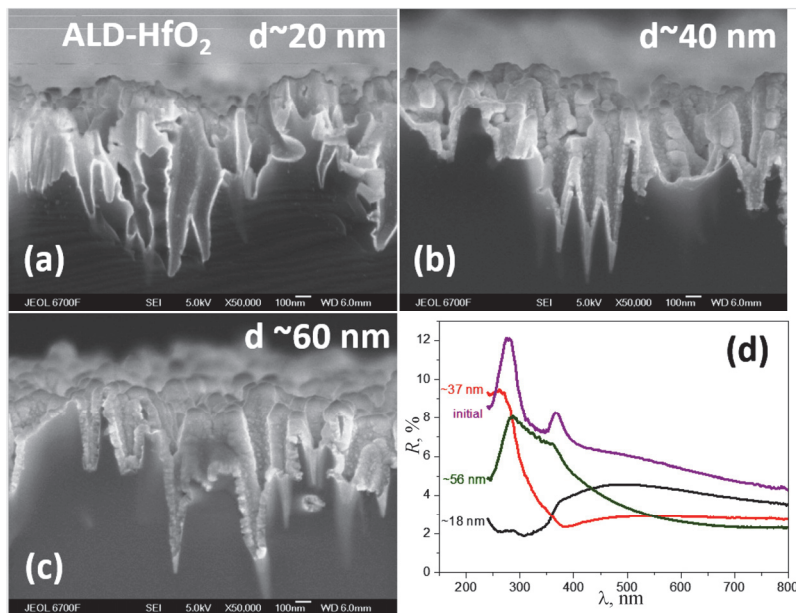


Рис.1. SEM микрофотографии поперечного сечения структур HfO<sub>2</sub>/b-Si с пленками разной толщины: (a) – 20 нм, (b) – 40 нм, (c) – 60 нм и (d) – спектры отражения этих же структур.

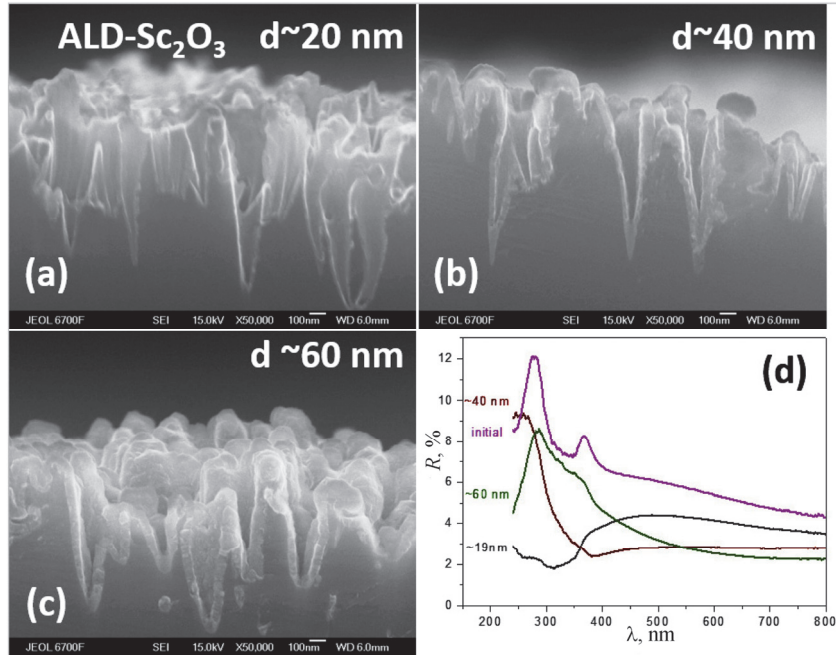


Рис.2. SEM микрофотографии поперечного сечения структур  $\text{Sc}_2\text{O}_3/\text{b-Si}$  с пленками разной толщины: (а) – 20 нм, (б) – 40 нм, (с) – 60 нм и (д) – спектры отражения этих же структур.

Из SEM микрофотографий поперечного сечения структур  $\text{HfO}_2/\text{b-Si}$  (рис.1а-с) видно, что пленка  $\text{HfO}_2$  покрывает поверхность  $\text{b-Si}$  сплошным слоем высокой степени конформности и равномерности, без пор и проколов. Толщина пленки хорошо соответствует ожидаемым значениям в соответствии с количеством проведенных АСО циклов и совпадает с данными эллипсометрических измерений на подложках-спутниках.

Коэффициент отражения заметно снижается уже при толщине пленки  $d \sim 20$  нм (рис.1д). Наибольшее снижение проявляется в УФ области, а в видимом диапазоне спектра, актуальном для солнечной энергетики,  $R$  уменьшается на 50%. Увеличение толщины  $\text{HfO}_2$  до  $d \sim 40$  нм еще более улучшает антиотражающие характеристики структур в видимом диапазоне, и  $R$  снижается с 6 до 3%. При этом отражение УФ излучения ( $\lambda \sim 250$  нм) от поверхности слоя  $\text{b-Si}$  без АСО пленки (initial) является близким по значению. Увеличение толщины пленки до  $d \sim 60$  нм приводит к ухудшению антиотражающих свойств даже в видимом диапазоне спектра.

Для структур  $\text{Sc}_2\text{O}_3/\text{b-Si}$  (рис.2) наблюдается практически та же зависимость коэффициента отражения от толщины, что и для структур с пленкой  $\text{HfO}_2$ . Очевидно, это связано с близкими значениями показателей преломления этих оксидов.

Структуры  $\text{TiO}_2/\text{b-Si}$  (рис.3) демонстрируют подобные характеристики,

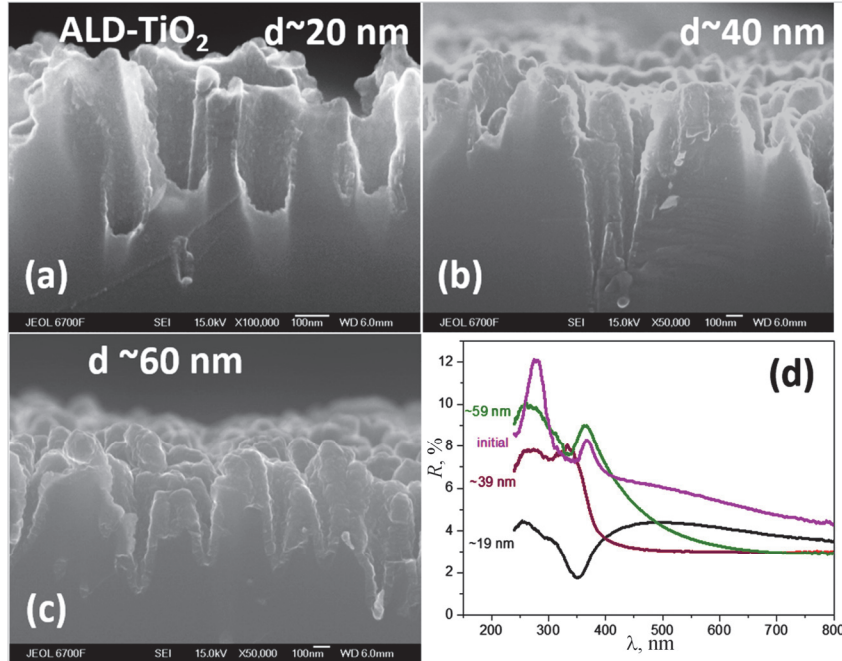


Рис.3. SEM микрофотографии поперечного сечения структур TiO<sub>2</sub>/b-Si с пленками разной толщины: (а) – 20 нм, (б) – 40 нм, (с) – 60 нм и (д) – спектры отражения этих же структур.

но деградация антиотражающих характеристик после увеличения толщины покрытия до  $d \sim 60$  нм проявляется более заметно. В том числе наблюдается даже повышение  $R$  в УФ области по сравнению с поверхностью b-Si без АСО пленки.

Для удобства сравнения и оценки влияния толщины пленок на спектры отражения, на рис.4 представлены нормированные на b-Si без АСО пленки зависимости коэффициента отражения  $R/R_{\text{initial}}$  исследованных структур от длины волны.

Из рис. 4а можно видеть, что при толщине  $d = 18\text{--}20$  нм материал пленки практически не влияет на антиотражающие характеристики структур пленка/b-Si. В видимой области  $R/R_{\text{initial}}$  снижается на 20–30%, а значительное уменьшение достигается лишь при длинах волн  $\lambda = 250\text{--}400$  нм. Наблюдаются хорошее соответствие с результатами численного моделирования, проведенного нами ранее в [22].

Толщина  $d = 38\text{--}41$  нм (рис. 4б) дает максимальный эффект и снижает коэффициент отражения в видимом диапазоне на 40–60% по сравнению с b-Si без АСО пленки, но в УФ области начинает проявляться максимум интерференции, подчиняющийся условию  $2dn = (2m + 1)\lambda/2$ , где  $n$  – показатель преломления и  $m$  – целое число с нуля, как и в случае пленки на планарной поверхности. Повышение толщины до  $d = 56\text{--}60$  нм приводит к сдвигу данного максимума интерференции уже в видимую область, что наиболее очевидно для пленок TiO<sub>2</sub>,

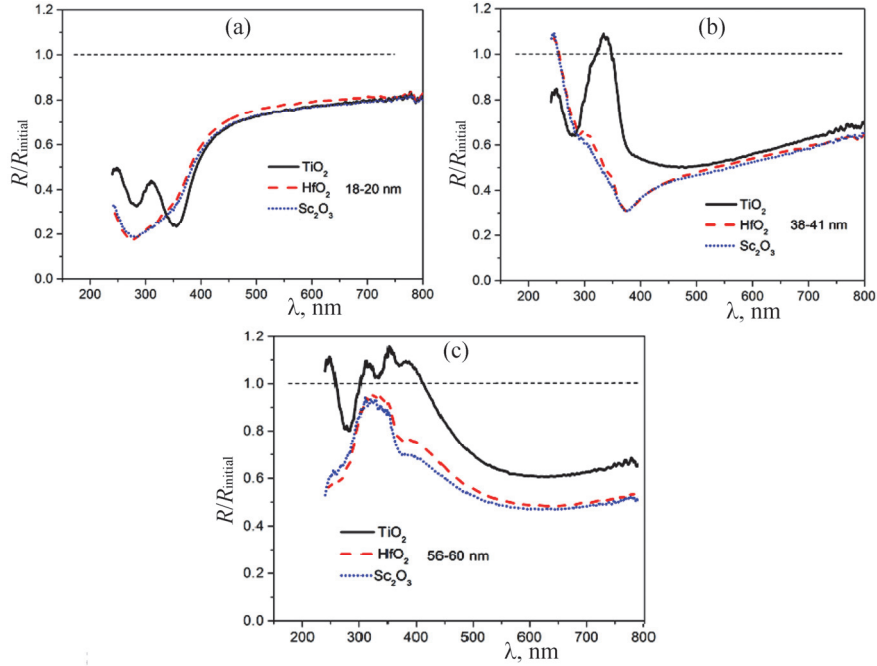


Рис.4. Спектры отражения структур пленка/b-Si, нормированные на b-Si без АСО пленок для разных толщин пленок: (а) – 18–20 нм; (б) – 38–41 нм; (в) – 56–60 нм.

обладающих наибольшим показателем преломления –  $n(632.8 \text{ нм}) = 2.41\text{--}2.45$ . В этом отношении экспериментальные результаты также коррелируют с результатами численного моделирования [22], где данный эффект обнаруживался только при толщинах пленки  $d \sim 100 \text{ нм}$  и более. При этом антиотражающие характеристики  $\text{TiO}_2$  незначительно деградировали по сравнению с более тонкими покрытиями. Коэффициент отражения увеличивался, но никогда не достигал значений, демонстрируемых b-Si без АСО пленок.

Для объяснения наблюдаемого явления следует учитывать отличия морфологии модельной структуры пленка/b-Si от структуры, образующейся в реальном процессе осаждения АСО пленок. Эти отличия схематично иллюстрируются на рис.5.

При моделировании спектров отражения по программе Lumerical FDTD Solutions [22], пленка вводится в модель посредством вертикального сдвига поверхности слоя b-Si на величину  $d_{\text{film}}$  (рис.5а). Рельеф пленки полностью повторяет рельеф слоя b-Si. При этом эффективная толщина пленки в среднем существенно ниже, чем номинально заложенная в модель. Такие пленки формируются при физическом напылении. В то время как при использовании метода АСО формирующаяся пленка не повторяет рельеф поверхности слоя b-Si, а ее поверхность является огибающей (рис.5б). Происходит «схлопывание» растущих навстречу друг другу слоев и сглаживание рельефа. В результате, реальные

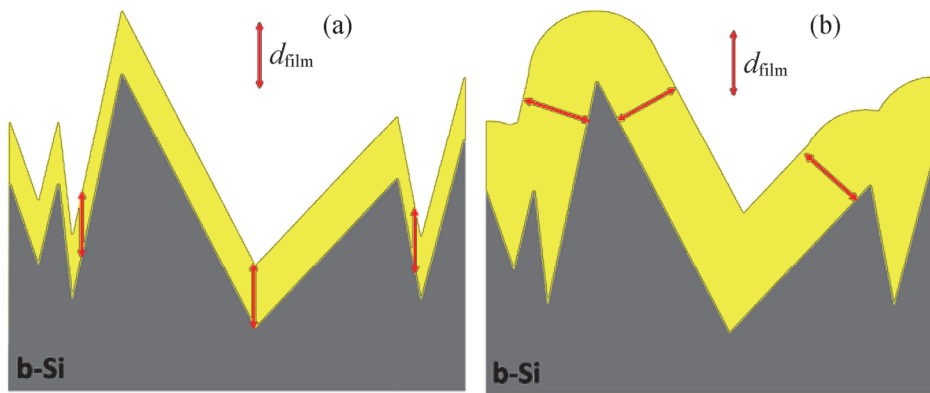


Рис.5. Модельный (а) и реальный (б) схемы морфологии структур пленка/b-Si.  $d_{\text{film}}$  – величина толщины пленки, используемая при обработки данных.

пленки имеют большую толщину по сравнению с модельными объектами. При малой толщине пленок отклонения от модели не столь значительны, поэтому результаты эксперимента хорошо соответствуют результатам численного моделирования. С увеличением толщины пленок происходит заметное расхождение между модельным и реальным объектами. Это не позволяет напрямую использовать результаты расчетов для количественных оценок коэффициента отражения структур пленка/b-Si с АСО пленками толщиной  $d > 40$  нм и требует учета различий морфологии модельной и реальной поверхностей.

#### 4. Заключение

Были изготовлены и исследованы антиотражающие свойства слоев b-Si, покрытых методом АСО тонкими пленками оксидов металлов  $\text{TiO}_2$ ,  $\text{HfO}_2$  и  $\text{Sc}_2\text{O}_3$ . Показано, что пленки поглощают до 98% падающего света в диапазоне длин волн от 250 нм до 800 нм. Экспериментально продемонстрировано, что исследованные пленки являются хорошими кандидатами в качестве пассивирующего материала, способного существенно улучшить антиотражающие свойства слоев b-Si при оптимальном выборе толщины пленки в наиболее значимой области светового спектра для применения в солнечных элементах. Показаны и объяснены различия в эффективной толщине АСО пленок для модельной и реальной структур.

Работа выполнена в рамках госзадания ИНХ СО РАН (проект FWUZ-2021-0006) и партнерского соглашения о научном сотрудничестве между Национальным политехническим университетом Армении и Институтом неорганической химии им. А.В. Николаева Сибирского отделения Российской АН.

#### ЛИТЕРАТУРА

1. H.M. Branz, V.E. Yost, S. Ward, B. To, K. Jones, P. Stradins. Appl. Phys. Lett., **94**, 231121 (2009).
2. Y.-T. Lua, A.R. Barronw. Phys. Chem. Chem. Phys., **15**, 9862 (2013).

3. **Z. Fan, D. Cui, Z. Zhang, Z. Zhao, H. Chen, Y. Fan, P. Li, Z. Zhang, C. Xue, S. Yan.** Nanomaterials, **11** (41), 1 (2021).
4. **G.Y. Ayvazyan, R.N. Barseghyan, S.A. Minasyan.** Green Energy and Smart Grids. E3S, **69**, 01008 (2018).
5. **Z.H. Mkhitaryan, V.M. Aroutiounian.** J. Contemp. Phys., **46**, 135 (2011).
6. **L. Jian, T. Zhang, P. Zhang, S. Li.** Nanoscale Res. Letters., **13**, 10 (2018).
7. **M. Steglich, T. Käsebier, M. Zilk, T. Pertsch, E.-B. Kley, A. Tünnermann.** J. Appl. Phys., **116**, 173503 (2014).
8. **P. Repo, A. Haarahiltunen, L. Sainiemi, M. Yli-Koski, H. Talvitie, M.C. Schubert, H. Savin.** IEEE J. Photovolt., **3**(1), 90 (2013).
9. **R.S. Bonilla, P.R. Wilshaw.** J. Appl. Phys., **104**, 232903 (2014).
10. **M. Steglich, A. Bingel, G. Jia, F. Falk.** Sol. Energy Mater. & Sol. Cells, **103**, 62 (2012).
11. **A. Leszek, L. Dobrzański, M. Szindler, A. Drygala, M.M. Szindler.** Central European J. Phys., **12** (9) 666 (2014).
12. **I.T.S. Heikkinen, G. Koutsourakis, S. Virtanen, M. Yli-Koski, S. Wood, V. Vähänissi, E. Salmi, F.A. Castro, H. Savin.** J. Vac. Sci. Technol. A, **38**, 022401 (2020).
13. **J. Schmidt, F. Werner, B. Veith, D. Zielke, S. Steingrube, P.P. Altermatt, S. Gatz, T. Dullweber, R. Brendel.** Energy Procedia, **15**, 30, (2012).
14. **W.C. Wang, C.W. Lin, H.J. Chen, C.W. Chang, J.J. Huang, M.J. Yang, B. Tjahjono, J.J. Huang, W.C. Hsu, M.J. Chen.** ACS Appl. Mater. Interfaces, **5**, 9752 (2013).
15. **E. Calle, P. Ortega, G. Gastrow, I. Martín, H. Savin, R. Alcubilla.** Energy Procedia, **92**, 341 (2016).
16. **W.C. Wang, M.-C.Tsai, J. Yang, C. Hsu, M.-J. Chen.** ACS Appl. Mater. Interfaces, **7**, 10228 (2015).
17. **G. Gastrow, R. Alcubilla, P. Ortega, M. Yli-Koski, S. Conesa-Boj, A. Morral, H. Savin.** Sol. Energy Mater.& Sol. Cells, **142**, 29 (2015).
18. **H. Savin, P. Repo, G.V. Gastrow, P. Ortega, E. Calle, M. Garin, R. Alcubilla.** Nat. Nanotechnol., **10**, 624 (2015).
19. **X.-Y. Zhang, C.-H. Hsu, S.-Y. Lien, S.-Y. Chen, W. Huang, C.-H. Yang, C.-Y. Kung, W.-Z. Zhu, F.-B. Xiong, X.-G. Meng.** Nanoscale Res. Lett., **12**, 324 (2017).
20. **S. Jana, B.C. Mitra, P. Bera, M. Sikdar, A. Mondal.** J. Alloys Compd., **602**, 42 (2014).
21. **H. Oladipo, C. Garlisi, Kh. Al-Ali, E. Azar, G. Palmisano.** J. Environ. Chem. Eng., **7**, 102980 (2019).
22. **M.V. Katkov, G.Y. Ayvazyan, V.R. Shayapov, M.S. Lebedev.** J. Contemp. Phys., **55**(1), 16 (2020).
23. **I.B. Mishchenko, D.E. Petukhova, M.S. Lebedev.** Int. Conf. on Micro/Nanotechn. and Electron Dev., EDM 2018-July, **8434943**, 26 (2018).
24. **M.S. Lebedev, V.N. Kruchinin, M.Yu. Afonin, I.V. Korolkov, A.A. Saraev, A.A. Gismatulin, V.A. Gritsenko.** Appl. Surf. Sci., **478**, 690 (2019).
25. **M.S. Lebedev, V.N. Kruchinin, M.I. Lebedeva, E.V. Spesivtsev.** Thin Solid Films, **642**, 103 (2017).

**ԱՏՈՄԱՇԵՐՏԱՅԻՆ ՆԱՏԵՑՄԱՆ ՄԵԹՈԴՈՎ ՄԵՏԱՂԱԿԱՆ ՕՔՍԻԴՆԵՐԻ  
ԲԱՐԱԿ ԹԱՂԱՆԹՆԵՐՈՎ ՊԱՏՎԱԾ ՍԵՎ ՍԻԼԻՑԻՈՒՄԻ  
ՀԱԿԱՍՆԴՐԱՐՁՆՈՂ ՀԱՏԿՈՒԹՅՈՒՆՆԵՐԸ**

Գ.Ե. ԱՅՎԱԶՅԱՆ, Մ.Վ. ԿԱՏԿՈՎ, Մ.Ս. ԼԵԲԵԴԵՎ, Վ.Ռ. ՇԱՅԱՊՈՎ,  
Դ.Ե. ՊԵՏՈՒԽՈՎԱ, Ի.Վ. ՅՈՒՇԻՆԱ, Է.Ա. ՄԱԿՍԻՄՈՎԱԿԻ, Ա.Վ. ԱՂԱԲԵԿՅԱՆ

Ներկայացված են ատոմաշերտային նստեցման (Atomic Layer Deposition - ALD) մեթոդով  $TiO_2$ ,  $HfO_2$  և  $Sc_2O_3$  մետաղների օքսիդների բարակ թաղանթներով պատված սև սիլիցիումի (b-Si) շերտերի հակաանդրադարձնող հատկությունների փորձարարական ուսումնասիրությունների արդյունքները: Ցույց է տրվել b-Si-ի հակաանդրադարձնող հատկությունների լավացումը սպեկտրային լայն տիրույթում: Հետազոտված ALD թաղաթները նպատակահարմար են կիրառել արևային էլեմենտներում որպես b-Si-ի մակերևույթի արդյունավետ մեկուսացնող ծածկույթ:

**ANTI-REFLECTION PROPERTIES OF BLACK SILICON COATED WITH THIN FILMS OF METAL OXIDES BY ATOMIC LAYER DEPOSITION**

G.Y. AYVAZYAN, M.V. KATKOV, M.S. LEBEDEV, V.R. SHAYAPOV,  
M.Yu. AFONIN, D.E. PETUKHOVA, I.V. YUSHINA,  
E.A. MAKSIMOVSKII, A.V. AGHABEKYAN

The results of experimental studies of the anti-reflection properties of black silicon (b-Si) layers coated with thin films of  $TiO_2$ ,  $HfO_2$ , and  $Sc_2O_3$  metal oxides by atomic layer deposition (ALD) are presented. An improvement in the antireflection properties of b-Si in a wide spectral range is shown. It is expedient to use the investigated ALO films in solar cells as an effective passivating coating of the b-Si surface.